

# Prehomogeneous vector space の相対不変式の Fourier 変換について (I)

京大 理 室政知.

## §0 序

Prehomogeneous vector space  $(G, V, \chi)$  を考える。  
その real form  $(G_{\mathbb{R}}, V_{\mathbb{R}}, \chi)$  を与えつきめる。そして  $|H|^S$   
という hyperfunction の Fourier 変換を求めることを考  
える。ある条件のもとで、この問題は、zero section と 原  
点の conormal における、 $|H|^S$  の同位数の関係を探るこ  
とであることが佐藤幹夫氏によ、指摘され、具体的にその  
関係を求めるアルゴリズムが、柏原正樹氏によ、はじめ  
て決定された。(柏原-三輪 [1] 参照) そして具体的な計  
算は、鈴木 [2] によ、こ、いっかなされてる。

しかしながら、常に計算が可能であつたわけではない。た  
とえば、 $G = GL(n, \mathbb{R}) \times SO(p, q)$ ,  $p$  or  $q < n$  の相対  
不変式の Fourier 変換は、柏原-三輪 [1] の方法によ、こ  
けでは、不可能である。

この場合には、二次型式と言われる型の、相対不変式の、  
 同伴数のつながりの公式をあてはめることにより、計算が  
 できる。その公式は、相原正樹氏により、提出された。([3]  
 を参照)

今日の講演では、次のことが、なされた。

1) [3] においては、二次型式の局所化を行って、公式を  
 導いたが、さらに一般の *prehomogeneous vector space* の  
 相対不変式の局所化、およびつながりの公式の予想が提出  
 され、Matrix の determinant, binary cubic forms の dis-  
 criminant などにおいて実際正しいことが示された。

$$2) \text{ i) } G = GL(n, \mathbb{R}) \times SO(p, q, \mathbb{R}) \quad V = M(n, m, \mathbb{R})$$

$$f = \det X I_{p,q}^t X \quad [T \in \mathbb{R}^L \quad X = m \times n \text{ 行列}]$$

$$\text{ii) } G = GL(n, \mathbb{C}) \times SU(p, q, \mathbb{C}) \quad V = M(n, m, \mathbb{C})$$

$$f = \det X I_{p,q}^t \bar{X}$$

$$\text{iii) } G = GL(n, \mathbb{H}) \times SU(p, q, \mathbb{H}) \quad , \quad V = M(n, m, \mathbb{H})$$

$$f = \det X I_{p,q}^t \bar{X}$$

の相対不変式の Fourier 変換の計算がなされ、これによつて P. 8 に条件のつかない公式が出た。

その後の発展、および計算などはすべて次回の報告にゆずり、今回は、とくに計算のやり方と結果を中心にしてお報告する。公式のかわらびき方の詳しいことは、[3]の前半に示してある。全体を通じて  $(G, V, f)$  は regular であることを仮定する。

## 文献

- [1] 柏原-三輪 Micro-local calculus と 概均質ベクトル空間の相対不変式の Fourier 変換  
(数研講究録 238, p60 ~ p147)
- [2] 鈴木利明、概均質ベクトル空間の相対不変式の Fourier 変換について (修士論文)
- [3] 佐藤-柏原-三輪-塚 Imaginary Lagrangian の現われの Fourier 変換について  
(数研講究録 "超函数と線型微分方程式 IV" に出版予定)

§1 計算法及び簡略化.

$(G, V, f)$  を (Complex) prehomogeneous vector space としよう。  $(G_{\mathbb{R}}, V_{\mathbb{R}}, f)$  とそのひとつの Real form とする。すると  $V_{\mathbb{R}} = V_1 \sqcup V_2 \sqcup \dots \sqcup V_n$  と connected Component 分解をとることが出来る。そこで、

$$|f|_i^S = \begin{cases} |f(x)|^S & x \in V_i \\ 0 & x \notin V_i \end{cases}$$

とおいたとき、  $\sum_{i=1}^n C_i^0 |f(x)|_i^S$  の Fourier 変換を考える。

Definition (同伴数).

$\mathcal{H} \in f^S$  の  $\mathcal{H}$  に  $\mathcal{H}$  を Maximally over determined system とする。そして  $\text{Supp}(\mathcal{H}) = \cup \Delta_i \subset T^*V$  と適切成分分解をとる。  $\Delta_i$  が simple な Lagrange mf とするとき  $\Delta_i$  は real に制限して  $\Delta_i^{\mathbb{R}} = \cup \Delta_i' \subset T^*S^*V_{\mathbb{R}}$  の各 connected Component 上の solution の base として  $|f_{\Delta_i}|^S \sqrt{\omega_{\Delta_i}} |dx|$  ととることが出来る。この Constant 係数によつて  $\mathcal{H}$  の solution とあらわすことが出来る。この Constant  $C_i^0 \in \mathcal{H}$  の  $\Delta_i'$  の同伴数という。(  $|f_{\Delta_i}|^S, \omega_{\Delta_i}$  の定義については、柏原-三輪を参照のこと。)

さて  $\Delta_i$  の同伴数たち  $(C_i^0)$  と  $\Delta_i'$  の同伴数たち  $(C_i^0')$  の間には、線型な関係がある。これを同伴数の

間のつながりの行列という。とくに, zero section  $V$  と原点, の conormal  $V^*$  は  $V$  の support に存している。

以下,  $(G, V, f)$  は regular であることを仮定する。すると,  $V_{\mathbb{R}}$  と  $V_{\mathbb{R}}^*$  の Connected Component の数は同じである。同位数の間のつながりの行列を  $A(S)$  とするとき, Fourier 変換は次の式で与えられる。

Theorem (柏原)

$$\begin{bmatrix} |f(x)|_1^S \\ \vdots \\ |f(x)|_N \end{bmatrix} = \int (\sqrt{2\pi})^{-\frac{n}{2}} |C_0|^S |C_1|^{-1} A(S) \begin{bmatrix} |f^*(y)|_1^{-S-\frac{n}{r}} \\ \vdots \\ |f^*(y)|_N^{-S-\frac{n}{r}} \end{bmatrix} \exp \pi i \langle x, y \rangle dy$$

$$\begin{cases} C_0 = f^*(y) f(\text{grad}_y \log f^*(y)) \\ C_1 = f^*(y)^{\frac{2n}{r}} \text{Hess } \log f^*(y) \end{cases} \quad \begin{cases} r = \deg f \\ n = \dim V. \end{cases}$$

ただし,  $D_{y_i} = \partial_{y_i}$  は,  $-D_{y_i} \exp \langle x, y \rangle = x_i \exp \langle x, y \rangle$  とする。ように定義して,  $\text{grad}_y = (D_{y_1}, \dots, D_{y_n})$  である。そして Hess は  $d \text{grad}_y$  で与えられる。( [3] 参照 )

ただしこれは相対不変式が, 一個の場合である。多数の場合も, 同様の考察はできる。

さてこの定理によって,  $V_{\mathbb{R}}$  と  $V_{\mathbb{R}}^*$  の間の同位数のつながりの行列を求めることに問題は帰着された。柏原-三輪においては, これを求めるために,  $V_{\mathbb{R}}$  と  $V_{\mathbb{R}}^*$  までを余次元

1 の Lagrange mfs で、つぎ、その間の同伴数の関係を求め、それを総和あることにより、 $V_{\mathbb{R}}$  と  $V_{\mathbb{R}}^*$  の間の同伴数のつるがりの行列を求める方法を示した。これは言わば、 $\mathcal{X}^s$  という、とも基本的な Prehomogeneous vector space の相対不変式の Fourier 変換を何度もや、たまたまのであると思、たまよい。あるいは、 $\mathcal{F}^s$  のみならず、Maximally overdetermined system に Micro-local に、 $\mathcal{X}^s$  のみならず、Maximally overdetermined system に、通して、つるがりの行列を求めたのである。

しかしながら、すでに、Fourier 変換のわか、こいる、Prehomogeneous vector space の相対不変式の Complex power が、みならず、Maximally overdetermined system が、途中に出くれば、それこそそのまま適用すれば、よいはずで、これにより、計算は簡略化されるはずである。そこで次の予想を提出する。

### conjecture

あるきやくな、相対不変式-個の regular prehomogeneous vector space  $(G, V, \mathcal{F})$  において、

$$\begin{bmatrix} |\mathcal{F}|^s \\ \vdots \\ |\mathcal{F}|_2^s \end{bmatrix} \underset{V^*}{=} \int (2\pi)^{-\frac{n}{2}} |C_0| \sqrt{|C_1|} \tau(A(s)) \begin{bmatrix} |\mathcal{F}^*|^{-s-\frac{n}{2}} \\ \vdots \\ |\mathcal{F}|_2^{-s-\frac{n}{2}} \end{bmatrix} \exp \tau \langle x, y \rangle dy$$

$$C_0 = f^*(y) f(\text{grad log } f^*(y))$$

$$r = \text{deg } f.$$

$$C_1 = f^*(y)^{\frac{2n}{r}} \text{Hess. log } f^*(y)$$

$$n = \dim V$$

が成立しているとする。それとさらに別の Prohomogeneous vector space  $(G', V', f')$  があって、その相対不変式  $f'$  の Complex power  $f'^s$  のための Maximally overdetermined system  $\mathcal{H}\mathcal{C}_{f'^s}$  の局所化 (すなわち  $f'^s$  のための  $\mathcal{H}\mathcal{C}_{f'^s} \in$  Micro-local に quantized contact transformation で変換すること) によつて  $f'$  のための Maximally overdetermined system  $\mathcal{H}\mathcal{C}_{f'^s}$  ができてきたとする。このとき  $f'$  の原点の conormal, zero section に対応する  $\mathcal{H}\mathcal{C}_{f'^s}$  の support  $\in \Lambda' \cap \Lambda$  とするとき、 $\Lambda^{\mathbb{R}}, \Lambda'^{\mathbb{R}}$  の同件数のつながり行列は、次のようにあらわされる。

$$A(\lambda) \begin{bmatrix} \exp \frac{i\pi}{4} (\tau(\Lambda) - \tau(\Lambda \wedge \Lambda')) \\ \vdots \\ \exp \frac{i\pi}{4} (\tau(\Lambda) - \tau(\Lambda \wedge \Lambda')) \end{bmatrix}$$

$$\Lambda^{\mathbb{R}} = \bigsqcup_{i=1}^l \Lambda_i \quad \Lambda'^{\mathbb{R}} = \bigsqcup_{i=1}^l \Lambda'_i$$

$$\tau(\Lambda_i) = \sqrt{\pi} \int_{A \in \mathcal{C}_{\mathcal{G}}} \langle Ax_i, -Ay_i \rangle$$

$$\tau(\Lambda \wedge \Lambda') = \sqrt{\pi} \int_{A \in \mathcal{C}_{\mathcal{G}}} \langle Ax, -Ay \rangle$$

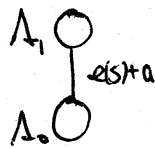
$(x_i, y_i)$  は  $\Lambda_i$  の generic point.  $(x, y)$  は  $\Lambda^{\mathbb{R}} \cap \Lambda'^{\mathbb{R}}$  の generic pt.

もし  $\lambda$  は  $(G, V, f)$  の  $f^S$  の原点の conormal の order が  $\mathbb{R}S+a$  のとき  $\text{ord}_{\Delta_1} f^S - \text{ord}_{\Delta_0} f^S = \mathbb{R}\lambda + a$  となる。

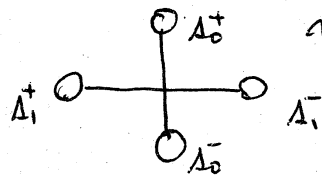
もしこの Conjecture が正しいとすれば、次の定理はその系として出る。

Theorem

i) 交点の局所化が  $\mathbb{C}^S$  のとき、つぎの行列は



Complex の図



real の図

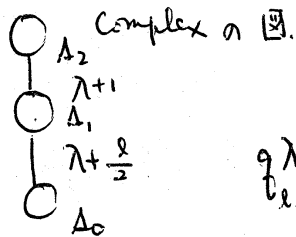
$C_0^\pm \in \Delta_0^\pm$  の同伴数  $C_1^\pm \in \Delta_1^\pm$  の同伴数

$$\begin{bmatrix} C_0^+ \\ C_0^- \end{bmatrix} = \begin{bmatrix} \exp(-\frac{\pi}{2}\sqrt{t}(\mathbb{R}S+a)) & \exp(\frac{\pi}{2}\sqrt{t}(\mathbb{R}S+a)) \\ \exp(\frac{\pi}{2}\sqrt{t}(\mathbb{R}S+a)) & \exp(-\frac{\pi}{2}\sqrt{t}(\mathbb{R}S+a)) \end{bmatrix} \begin{bmatrix} \tau(\Delta_1^+) - \tau(\Delta_1 \cap \Delta_0) \\ \tau(\Delta_1^-) - \tau(\Delta_1 \cap \Delta_0) \end{bmatrix}$$

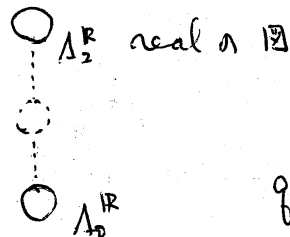
$$\begin{bmatrix} C_0^+ \\ C_1^- \end{bmatrix} = z^a \cdot \mathbb{R}S + a = \text{ord}_{\Delta_1} f^S - \text{ord}_{\Delta_0} f^S + \frac{1}{2}$$

(柏原 - 三輪 P.84)

ii) つぎの行列が二次型式に局所化されるとき、つぎの



Complex の図



real の図

$g_{\mathbb{R}}^\lambda = \left( \sum_{i=1}^l \alpha_i^2 \right)^\lambda$  の  $\mathbb{R}S = \mathbb{R}$  Maximally overdetermined system.



このとき、 $C_0 = C_2 \left( -\frac{\sin \pi \lambda}{\pi} \right) \Gamma(\lambda+1) \Gamma(\lambda+\frac{l}{2}) \exp \frac{\pi}{4} (U(\Lambda_2) - U(\Lambda_2 \wedge \Lambda_0))$

そしてここで

$$\lambda+1 = \text{ord}_{\Lambda_1} f^S - \text{ord}_{\Lambda_1} f^S + \frac{1}{2}$$

$$\lambda+\frac{l}{2} = \text{ord}_{\Lambda_1} f^S - \text{ord}_{\Lambda_0} f^S + \frac{1}{2}$$

そして実際に、この Conjecture は、相対不変式がわかっている場合。(たとえば symmetric matrix の determinant, 通常の matrix の determinant, binary cubic form の discriminant など……) については成立することがたしかめられている。(証明は次回の報告を見ていただく。)。

## §2 具体的な Fourier 変換の計算.

この節では Fourier 変換のための、同件数のつなかりを示す行列を求めることを目的とする。i) ii) iii) で 各々の

場合  $G = GL(n, \mathbb{R}) \times SO(p, q)$

$$G = GL(n, \mathbb{C}) \times SU(p, q)$$

$$G = GL(n, \mathbb{H}) \times SU(p, q, \mathbb{H})$$

を示して置くとする。

まず、相対不変式や内積を善くしておく。

以下、相対不変式、内積、表現と反傾表現、反傾表現による相対不変式、 $|C_0|, |C_1|$  の定数項、相対不変式の degree、変数の数、の順に書き並べてゆく。

$$i) \quad f(X) = \det(X I_{p,q} {}^t X) \quad \langle X, Y \rangle = \text{tr}(X I_{p,q} {}^t Y)$$

ただし  $X$  は  $n \times m$  行列で

$$X \mapsto g X h$$

$$Y \mapsto {}^t g^{-1} Y h \quad (g, h) \in G$$

$$f^*(Y) = \det(Y I_{p,q} {}^t Y)$$

$$|C_0| = 4^n \quad |C_1| = 2^{mn} \quad \deg f = 2n \quad \dim X = nm$$

よって  $f, f^*$  の character は  $\chi = (\det g)^2 \chi^*$   
 $= (\det g)^{-2}$  である。

$$ii) \quad f(X) = \det(X I_{p,q} {}^t \bar{X}) \quad \langle X, Y \rangle = \text{Re tr}(X I_{p,q} {}^t Y)$$

ただし  $X$  は  $n \times m$  (complex) 行列で

$$X \mapsto g X h$$

$$Y \mapsto {}^t g^{-1} Y h$$

$$(g, h) \in G$$

$$f^*(Y) = \det(Y I_{p,q} {}^t \bar{Y})$$

$$|C_0| = 4^n \quad |C_1| = 4^{mn} \quad \deg f = 2n \quad \dim X = 2nm$$

よって  $f, f^*$  の character は  $\chi = (\det g)^2 \chi^*$   
 $= (\det g)^{-2}$  である。

$$\text{iii) まず, } L: Z = x + \sqrt{-1}y \mapsto \begin{pmatrix} x & y \\ -y & x \end{pmatrix} \text{ という}$$

$\mathbb{H}$  の  $GL(2, \mathbb{C})$  への埋め込みを定義する。したがって自然に  $n \times m$   $\mathbb{H}$  行列を  $2n \times 2m$   $\mathbb{C}$  行列への埋め込みことができる。

$$f(X) = \det L(X I_{p,q} t \bar{X}) \quad \langle X, Y \rangle = \operatorname{Re} T_{\mathbb{R}} L(X I_{p,q} t Y)$$

$E \in \mathbb{R}^L$   $X$  は  $n \times m$  (quaternion) 行列で、

$$X \mapsto g X h$$

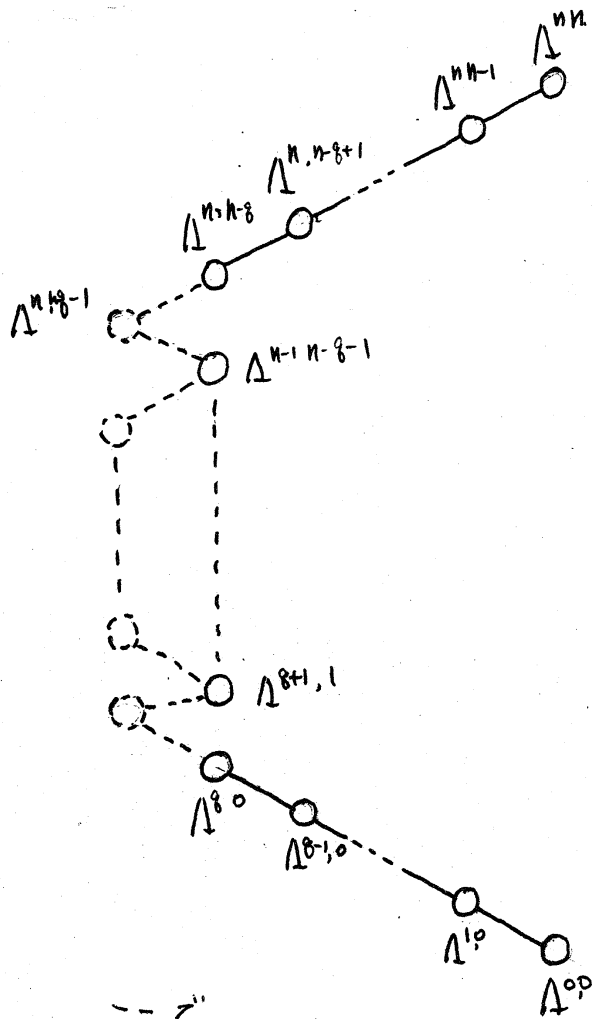
$$Y \mapsto t g^{-1} Y h \quad (g, h) \in G$$

$$f^*(Y) = \det L(Y I_{p,q} t \bar{Y})$$

$$|C_0| = 4^n \quad |C_1| = 4^{2nm} \quad \deg f = 2n \quad \dim X = 4nm.$$

そして  $f, f^*$  の character は  $\chi = (\det L(g))^2 \chi^* = (\det L(g))^{-2}$  である。

次に complex 領域  $T^*V$  上での極大過剰<sup>法</sup>決定系  $\mathcal{W}$  を定義し、その holonomy diagram を書く。この  $\mathcal{W}$  の real pure imaginal tangent bundle  $\sqrt{-1}T^*V_{\mathbb{R}}$  への制限がちょうど  $\mathbb{H}^S$  のための極大過剰決定系と存しているのである。たいてしにここでは、同伴数のつながり<sup>1)</sup>を定めるのに必要な Lagrangian  $\mathcal{M}_f$  のみを書く。以下は  $P > n$  を仮定する。



$\equiv \tau'$

$$E_r' = \begin{bmatrix} I_r & & \\ & \ddots & \\ & & I_r \end{bmatrix}$$

$p > n$

$$\Lambda_{(r')}^{n-i, n-g-i} \quad (l_i = n-g-i)$$

$$= \begin{bmatrix} I_{l_1} & & \\ & & \\ & & I_g & I_g \\ & & & \end{bmatrix} - \begin{bmatrix} & & & \\ & & & \\ & & I_{l_2} & \\ & & & E_g^{r'} & E_g^{r'} \end{bmatrix}$$

$$\Lambda_{(l_1, l_2, r')}^{n, n-k} \quad (k=r)$$

$$= \begin{bmatrix} I_{l_1} & & \\ & & \\ & & I_{l_2} \\ & & & I_r & I_r \\ & & & & \\ & & & & E_r^{r'} & E_r^{r'} \end{bmatrix}$$

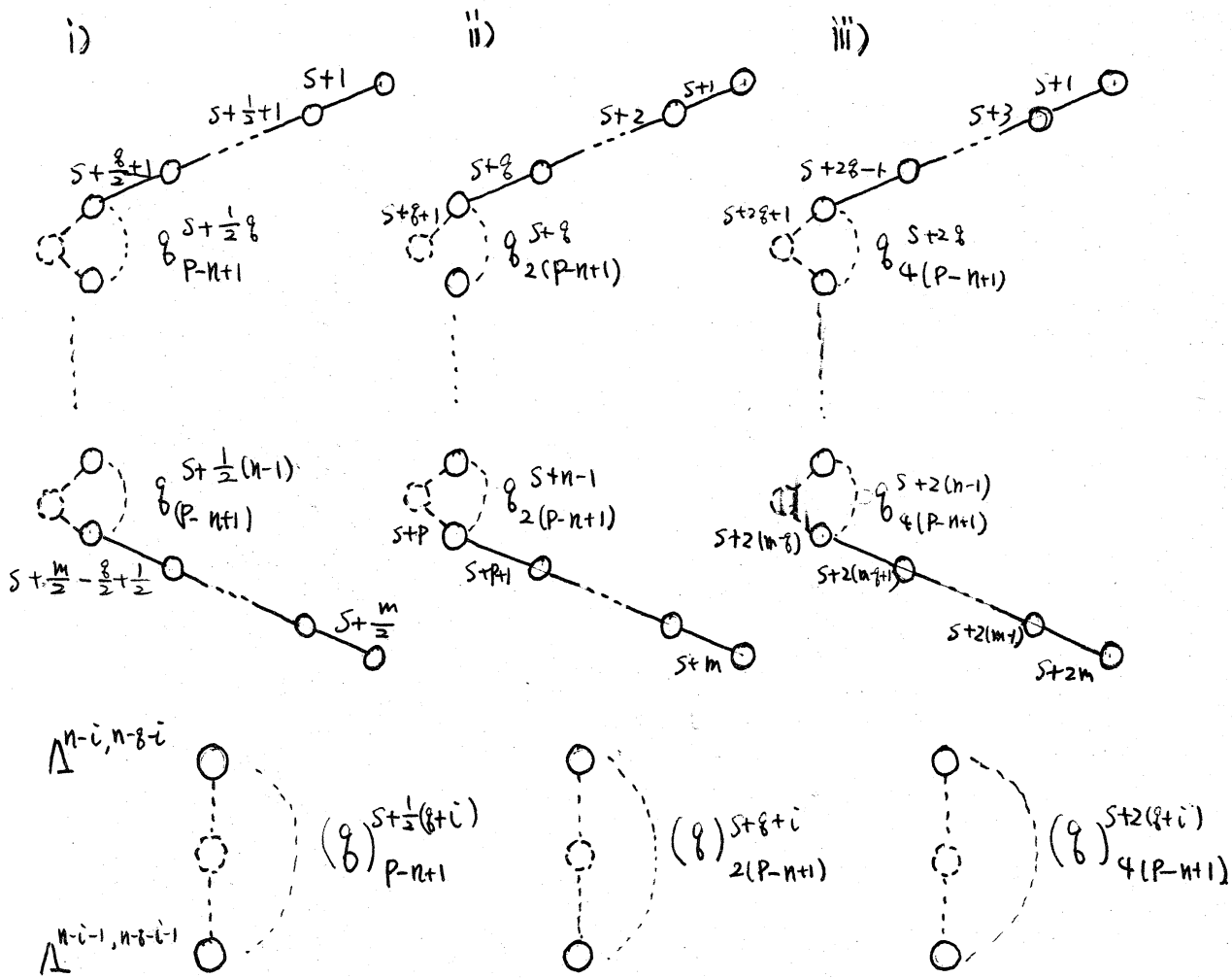
$$\Lambda_{(l_1, l_2, r')}^{g, 0} \quad (k=r)$$

$$= \begin{bmatrix} & & \\ & & \\ & & \\ & & I_{l_1} \\ & & & I_{l_2} \\ & & E_r^{r'} & E_r^{r'} \\ & & & I_r & I_r \end{bmatrix}$$

$\leftarrow p \quad * \quad g \quad \rightarrow$

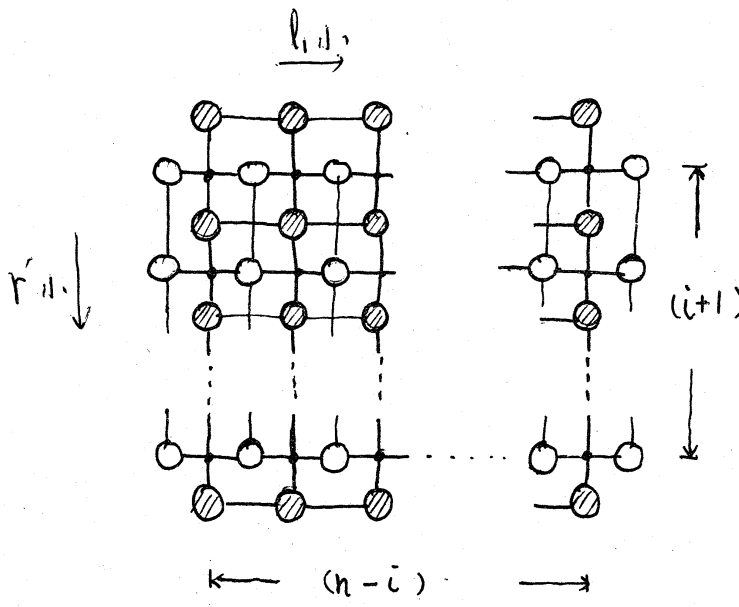
( ) 内は complex では同一 orbit (Lagrangian) だが real に制限すると、いくつかに分かれるため、それらを区別するため導入した index である。

次につるガリの様子を書き入れよう。ここで、 $(S+i)$  と、書いたのは、余次元 1 の good intersection ([1]) であ



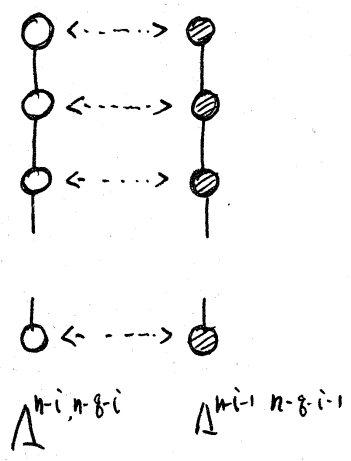
り、order 差  $+\frac{1}{2}$  が、 $(S+i)$  であることを示している。また  $g^{\pm}$  と書いたのは、その極大過剰決定系は Micro-local に  $(\sum_{i=1}^p x_i^2)^{\pm}$  のみならず、極大過剰決定系と同型であることを示している。

次に Real での orbit (Lagrangian) の Connected component 分解を示し、あわせて、各々の状態 (まじわり方) を書く。



これは  $\Lambda^{n, n-i}$  のつながり  
 $\Lambda^{n, n-i-1}$  のつながり  
 (i+1) のつながり  
 • かわり  
 ● が  $\Lambda^{n, n-i}$  の real orbit  
 ○ が  $\Lambda^{n, n-i-1}$  の real orbit

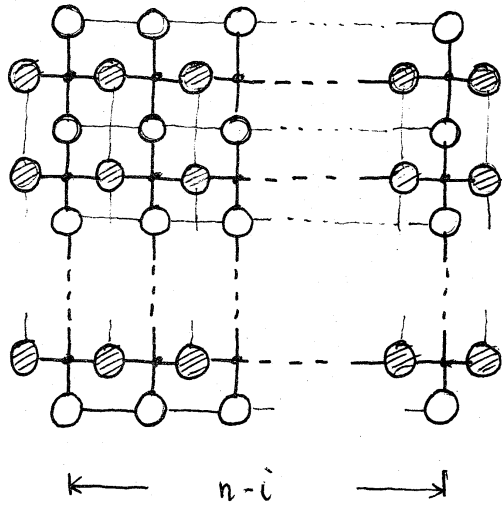
$\Lambda^{n, n-i}$  においていちばん左上が  $\Lambda_{(n-i, 0, i)}^{n, n-i}$  で  
 下に進ませれば  $r$  が小さくなり、右へ進めば  $l_1$  が小さくなり、とゆく。  
 $\Lambda^{n, n-i-1}$  も同様。



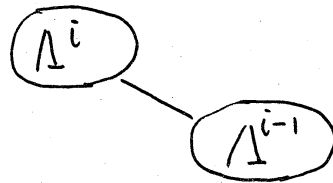
これは  $\Lambda^{n-i, n-8-i}$   
 $\Lambda^{n-i-1, n-8-i-1}$

の間につながり。  
 一番いちばん上の ○ が  $\Lambda_{(8)}^{n-i, n-8-i}$   
 $\Lambda_{(8)}^{n-i-1, n-8-i-1}$  とあわせてゆく。

下へ進むにつれて  $r$  が小さくなり、とゆく。



これは



のつながり.

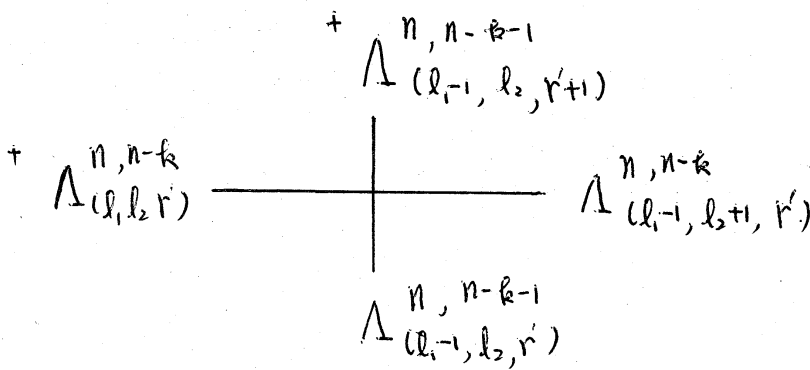
• が交わり.

⊙ が  $\Delta^{i-1}$  の real orbit

O が  $\Delta^{n-i}$  の real orbit

$\Delta^i$  においては いちばん左上が  $\Delta^i_{(n-i, 0, i)}$  をあらわし、  
右に進むにしたがって  $r'$  が小さくなる、とゆき。下へ進むのは  
 $l$  が小さくなる、とゆく。  $\Delta^{i-1}$  も同様。

次に Maslov index による修正の項を書いておこう。

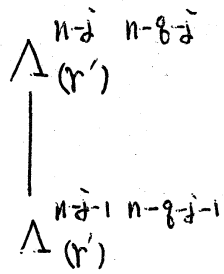


によるものは.

i) 
$$\begin{bmatrix} \exp \frac{\pi}{4} \sqrt{l}(k-2r') \\ \exp -\frac{\pi}{4} \sqrt{l}(k-2r') \end{bmatrix}$$

ii) 
$$\begin{bmatrix} \exp \frac{\pi}{2} \sqrt{l}(k-2r') \\ \exp -\frac{\pi}{2} \sqrt{l}(k-2r') \end{bmatrix}$$

iii) 
$$\begin{bmatrix} \exp \sqrt{l}(k-2r') \\ \exp -\sqrt{l}(k-2r') \end{bmatrix}$$



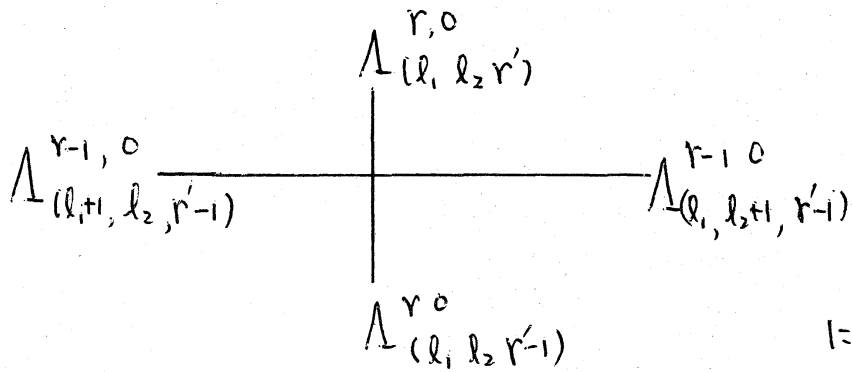
の間 においては.

i)  $\exp \frac{\pi}{4} \sqrt{l}(g-2(g-r'))$

ii)  $\exp \frac{\pi}{2} \sqrt{l}(g-2(g-r'))$

$r' = g, g-1, \dots, 0$

iii)  $\exp \pi \sqrt{l}(g-2(g-r'))$



によるものは.



$$i) \begin{bmatrix} \exp \frac{\pi}{4} \sqrt{1} (p-g+l_2-l_1) \\ \exp -\frac{\pi}{4} \sqrt{1} (p-g+l_2-l_1) \end{bmatrix}$$

$$ii) \begin{bmatrix} \exp \frac{\pi}{2} \sqrt{1} (p-g+l_2-l_1) \\ \exp -\frac{\pi}{2} \sqrt{1} (p-g+l_2-l_1) \end{bmatrix}$$

$$iii) \begin{bmatrix} \exp \pi \sqrt{1} (p-g+l_2-l_1) \\ \exp -\pi \sqrt{1} (p-g+l_2-l_1) \end{bmatrix}$$

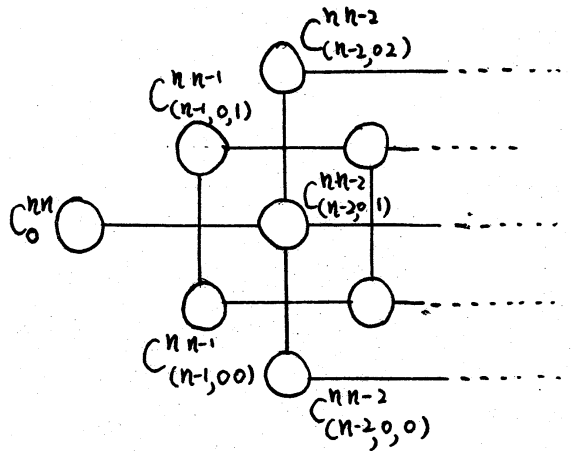
$\forall$ 人上には、この計算に必要な資料は、すべてそろった。あとは、これにより、この計算をすればよい。しかし、最初と最後（つまり、zero section と、原点の conormal）の間の同位数の関係を求めるためには、少々工夫を要する。ここでは、多項式の係数が、同位数をあらわすように、多項式をつくらせて、それを用いて計算して求めてゆく方法を示そう。

例として iii) の場合をとってみる。

まず、 $\Lambda^{nn}$  から  $\Lambda^{n, n-g}$  までの同位数のつながりを記述する行列を求めてみよう。 $\Lambda^{nn}$  は、 $r=0$  であるから、 $(g+1)$  個の連結成分  $\Lambda_{(n-i, i, 0)}^{nn}$  ( $i=0, \dots, g$ ) を与えられる。

各々の同伴数を  $C_i^{nn}$  ( $i=0 \dots g$ ) と書こう。

また  $\Delta^{nn-g}$  もやはり  $\Delta_{(n-g, c, r')^{nn-g}}$  ( $r'=0, \dots, g$ ) と  $g$  個の連結成分に分かれる。各々の同伴数は  $C_{r'}^{nn-g}$  ( $r'=0 \dots g$ ) とあらわすものとあつる。



同伴数の関係を  $\frac{\Gamma(\dots)}{\sqrt{2\pi}}$  の定数倍の part を除いて計算してしよう。まず  $C_0^{nn}$  と関係のある同伴数としてみる。

$$\begin{bmatrix} C_{(n-1, 0, 1)}^{nn-1} \\ C_{(n-1, 0, 0)}^{nn-1} \end{bmatrix} = \begin{bmatrix} \exp -\frac{\pi\sqrt{t}}{2}(s+1) \\ \exp \frac{\pi\sqrt{t}}{2}(s+1) \end{bmatrix} [C_0^{nn}]$$

$$\begin{bmatrix} C_{(n-2, 0, 2)}^{nn-2} \\ 2 C_{(n-2, 0, 1)}^{nn-2} \\ C_{(n-2, 0, 0)}^{nn-2} \end{bmatrix} = \begin{bmatrix} \exp -\frac{\pi\sqrt{t}}{2}(s+3) + \pi\sqrt{t}(-1) \\ \exp -\frac{\pi\sqrt{t}}{2}(s+3) + \pi\sqrt{t}(-1), \exp -\frac{\pi\sqrt{t}}{2}(s+3) + \pi\sqrt{t} \\ \exp \frac{\pi\sqrt{t}}{2}(s+3) + \pi\sqrt{t} \end{bmatrix}$$

$$\times \begin{bmatrix} C_{(j-1,0,1)}^{n,n-1} \\ \vdots \\ C_{(j-1,0,0)}^{n,n-1} \end{bmatrix} \dots$$

などとなる、とゆく。その他の同位数  $C_i^{n,n}$  に対して同じように見てゆくと、結局次のように計算すればよいことがわかる。

$$\begin{bmatrix} C_0^{n,n} \\ C_1^{n,n} \\ \vdots \\ C_g^{n,n} \end{bmatrix} \text{ と } \begin{bmatrix} C_\varepsilon^{n,n-g} \\ \vdots \\ C_0^{n,n-g} \end{bmatrix} \text{ の つながり) をあらわす行列を求めよう。}$$

$$\varphi_1 = t a^{-1} - a \quad a = \exp\left(\frac{\pi\sqrt{1}}{2} s\right) \quad \text{とする。}$$

$$\varphi_2 = -t a + a^{-1}$$

$$A_{g+1} = \begin{bmatrix} \varphi_1 & & & & \\ \varphi_2 & \varphi_1 & & & \\ & \varphi_2 & \ddots & & \\ & & & \varphi_1 & \\ & & & \varphi_2 & \end{bmatrix} \times (-\sqrt{t}) \quad (g+1) \times (g+1) \text{ 行列}$$

とおいて  $A_g \dots A_1$  を求めると、これは  $(g+1)$  次元の縦ベクトルを係数とする  $g$  次の  $t$  についての多項式となる。

これを  $A(t)$  とする。この多項式の  $i$  次の係数を行列の第  $(g-i+1)$  列  $(i=0 \dots g)$  とみてできる  $(g+1) \times (g+1)$  行列を

$$A' \text{ とする。 } \widehat{A} = \begin{bmatrix} C_0 \\ C_1 \\ \vdots \\ C_g \end{bmatrix}^{-1} A' \quad \text{が、 } \frac{\Gamma(\dots)}{\sqrt{2\pi}} \text{ の定数倍の}$$

項を除いた同位数の関係をあらわしてやる。

$$\tilde{A}(t) = \begin{bmatrix} {}_g C_0 & & & \\ & {}_g C_1 & & \\ & & \ddots & \\ & & & {}_g C_g \end{bmatrix}^{-1} A(t) = (-1)^g \begin{bmatrix} \varphi_1^g \\ \varphi_1^{g-1} \varphi_2 \\ \vdots \\ \varphi_2^g \end{bmatrix}$$

次に  $\Lambda^{n, n-g}$  と  $\Lambda^{g, 0}$  の間の同位数の関係を求めよう。  
この間にでてくる Orbit (Lagrangian) はすべて  $(g+1)$  個の連結成分に分かれる。そしてこの場合の Maslov index による修正は、どの2つの間も  $(-1)^g$  であるので、この間の変化は、ただ、定数倍になる、つまり、それは、

$$\begin{aligned} & (-1)^{g(n-g)} \prod_{i=1}^{n-g} \frac{-\sin \pi (s+2(g+i))}{\pi} \Gamma(s+2(g+i)+1) \Gamma(s+2(g+i)+2(p-g+1)) \\ &= \left( -\frac{\sin \pi s}{\pi} \right)^{n-g} \prod_{i=1}^{n-g} \Gamma(s+2(g+i)+1) \Gamma(s+(p+i)2+1) \times (-1)^{g(n-g)} \end{aligned}$$

である。

$\Lambda^{g, 0}$  の連結成分は  $\Lambda_{(n-g, 0, r')}^{g, 0}$   $r'=0, \dots, g$  の  $(g+1)$  個の連結成分に分かれ、その同位数  $C_{r'}^{g, 0}$  と書くと  $C_{r'}^{n, n-g}$  と  $C_{r'}^{g, 0}$  の間が上の定数倍で関係づけられる。

次に  $\Lambda^{g_0}$  と  $\Lambda^{0_0}$  の連結成分の同位数の関係を求めよう。 $\Lambda_{(n-i, i; 0)}^{0_0}$  ( $i=0, \dots, g$ ) と  $\Lambda^{0_0}$  は分かる。各々の同位数を  $C_i^{0_0}$  と書く。これは最初や、たのと同様の方法で求まる。

$\begin{bmatrix} C_0^{g_0} \\ \vdots \\ C_g^{g_0} \end{bmatrix}$  と  $\begin{bmatrix} C_0^{0_0} \\ \vdots \\ C_g^{0_0} \end{bmatrix}$  の間の関係は、 $\frac{\Gamma(\dots)}{\sqrt{2\pi}}$  の定数倍を除いて次のようにして求まる。

$$\begin{aligned} \varphi_1 &= at + a^{-1} & \text{として} & & B(t) &= (-1)^{g(n-1)} \begin{bmatrix} \varphi_1^g \\ C_1 \varphi_1^{g-1} \varphi_2 \\ \vdots \\ \varphi_2^g \end{bmatrix} & \text{とおく。} \\ \varphi_2 &= at + a^{-1} \end{aligned}$$

この  $B(t)$  の  $t$  の係数ベクトルを  $(g-i+1)$  列として得られる行列  $((g+1) \times (g+1)$  行列) である。これを  $B'$  としよう。

$$\widehat{B} = \begin{bmatrix} C_0 & & \\ & \ddots & \\ & & C_g \end{bmatrix}^{-1} B' \quad \text{とあるとき、これが求まる行列}$$

である。

あとは、 $\widehat{B}$  と  $\widehat{A}$  をかけあわせなければならぬが、ここで次の trick を使う。

$B(t)$  の第  $i$  成分を  $B_i(t)$  とし、次の多項式を考える。

$$\begin{aligned} \sum_{i=1}^g \cancel{B_{i+1}(t)} S'^{g-i} &= \sum_{i=0}^g {}_g C_i \tilde{\varphi}_1^{g-i} \tilde{\varphi}_2^i S'^{g-i} \\ &= (\tilde{\varphi}_1 S' + \tilde{\varphi}_2)^g = ((a^{-1}t+a)S' + (at+a^{-1}))^g \\ &= (t(a^{-1}S'+a) + (aS'+a^{-1}))^g = \sum_{i=0}^g {}_g C_i (a^{-1}S'+a)^{g-i} (aS'+a^{-1})^i t^{g-i} \end{aligned}$$

すなわち、 $B'$  は、 $B''(S') = [{}_g C_0 (a^{-1}S'+a)^g, {}_g C_1 (a^{-1}S'+a)^{g-1} (aS'+a^{-1}), \dots, {}_g C_g (aS'+a^{-1})^g]$  という  $(g+1)$  次元横ベクトルに係数が、とする  $S$  の多項式で、 $S^{g-i+1}$  の係数が、第  $i$  行目をあらわしている。

すると、 $B''(S') \cdot \hat{A}(t) = \sum_{i=1}^g {}_g C_i (a^{-1}S'+a)^{g-i} (aS'+a^{-1})^i \varphi_1^{g-i} \varphi_2^i$  の  $S'^j t^i$  の係数が、第  $(g-j+1)(g-i+1)$  成分をあらわす行列が、ちょうど、 $B' \hat{A}$  をあらわしていることがわかる。

$$\begin{aligned} &B''(S') \cdot \hat{A}(t) \\ &= \sum_{j=0}^g (a^{-1}S'+a)^{g-j} (aS'+a^{-1})^j \varphi_1^{g-j} \varphi_2^j {}_g C_j \\ &= \sum_{j=0}^g {}_g C_j \{(a^{-1}S'+a)(t a^{-1} - a)\}^{g-j} \{(aS'+a^{-1})(-t a + a^{-1})\}^j \end{aligned}$$

$$\begin{aligned}
&= \left[ \lambda (a^{-1}s + a) (s + a^{-1}) + \lambda (as + a^{-1}) (s + a) \right]^g \\
&= \left[ (a^{-2} - a^2)st + (a^{-2} - a^2) \right]^g = \sum_{j=0}^g C_{g,j} (st)^j (-1)^g (2 \sqrt{a} \pi s)
\end{aligned}$$

したがって、この変換の行列は、

$$A(s) = (-1)^{g(n-g)} \left( -\frac{2 \sqrt{a} \pi s}{\pi} \right)^{n-g} \prod_{i=1}^g \Gamma(s + 2(g+i)+1) \Gamma(s + (n+i)+1)$$

$$\prod_{j=0}^{g-1} \Gamma(s + 2j + 1) \Gamma(s + 2n - 2j) \quad (2\pi)^{-g} (-1)^{g(n+1)} (-\sqrt{a})^g$$

$$\begin{bmatrix} (-2 \sqrt{a} \pi s)^g \\ \vdots \\ (-2 \sqrt{a} \pi s)^g \\ \vdots \\ (-2 \sqrt{a} \pi s)^g \end{bmatrix}.$$

これが、 $\begin{bmatrix} C_{00}^{nn} \\ \vdots \\ C_{gg}^{nn} \end{bmatrix}$  から  $\begin{bmatrix} C_{00}^{00} \\ \vdots \\ C_{gg}^{00} \end{bmatrix}$  の同件数の変換をあらわしている。

公式の形で、さらに述べよう。

$$|f|_s(x) = \begin{cases} |f(x)|^s & x \in \Delta_{(n-i, i, 0)}^{nn} \\ 0 & x \notin \Delta_{(n-i, i, 0)}^{nn} \end{cases}$$

$$|f|_i^s = \begin{cases} |f|_i^s(y) & y \in \Lambda_{(n-i, i, 0)}^{00} \\ 0 & y \notin \Lambda_{(n-i, i, 0)}^{00} \end{cases} \quad \text{と } \tau$$

$$|f|_i^s(x) = \int 4^{ns} (\pi)^{(2m-1)n} (-\det \pi S)^n \gamma(s) |f|_i^{-s-2m}(y) \\ \times \exp \sqrt{T} \langle x, y \rangle dy$$

$$= \tau^n \gamma(s) = \prod_{j=0}^{n-1} \Gamma(s+2j+1) \Gamma(s+2m-2j)$$

$P > n$  の仮定のもとに (ii) iii) の場合は  $P \geq n$  の仮定のもとに) 全く同じような (多少めんどうにはなるものの) trick で. i) ii) iii) の場合もできる。以下それと結果だけ示そう。  $P \leq n$  の場合は、関数の orbit 分解が異ってくるので、それは次に解説あることにある。

ii)  $P > n$   $q < n$  を仮定して

$$\begin{bmatrix} |f|_0^s(x) \\ \vdots \\ |f|_q^s(x) \end{bmatrix} = \int (2\pi)^{-\frac{2nm}{2}} |C_0|^s \sqrt{|C_1|} (\det \pi S)^n \pi^n \gamma(s) A \begin{bmatrix} |f|_0^{-s-m}(y) \\ \vdots \\ |f|_q^{-s-m}(y) \end{bmatrix} \exp \sqrt{T} \langle x, y \rangle dy$$



$T = T^{-1}$ .  $C_0 = 4^n$   $C_1 = 4^{m \cdot n}$ .

$$A = \begin{cases} \begin{bmatrix} 1 & & & & \\ (\sqrt{t})^{-(n+q)^2} & & & & \\ & (-1)^{q+1} & & & \\ & & 1 & & \\ & & & \ddots & \\ & & & & (-1)^{q+1} \end{bmatrix} & q = \text{odd} \\ \begin{bmatrix} 1 & & & & \\ (\sqrt{t})^{-(n+q)^2} & & & & \\ & (-1)^q & & & \\ & & 1 & & \\ & & & \ddots & \\ & & & & (-1)^q \end{bmatrix} & q = \text{even} \end{cases}$$

i)  $P > n$   $q < n$  を仮定して

$$\begin{bmatrix} f_0^s(x) \\ \vdots \\ f_q^s(x) \end{bmatrix} = \int (2\pi)^{-\frac{mn}{2}} |c_0|^s |c_1|^{\frac{1}{2}} t A(s) \begin{bmatrix} f_0^{*s-\frac{m}{2}}(y) \\ \vdots \\ f_q^{*s-\frac{m}{2}}(y) \end{bmatrix} \exp \sqrt{t} \langle x, y \rangle dy$$

$$A(s) = \frac{\gamma(s)}{(2\pi)^q} \prod_{i=0}^{n-q-1} \left( \frac{\sin(-\pi(s + \frac{1}{2}(q+i)))}{\pi} \right) \tilde{A}(s) \quad \text{と} \quad \tilde{A}(s) \text{ は}$$

次のように与えられる。 $a = \exp(\frac{\pi}{2} \sqrt{t} s)$  とおくと

1)  $\mathfrak{g} = 4\tilde{\mathfrak{g}} + 1$  とおくと

$$\star = \begin{bmatrix} (a^{-2} + (-1)^{n+1} a^2) & , & -1 + (-1)^n \\ (\sqrt{F})^{p+1} (1 - (-1)^{p+1+n}) & , & -(\sqrt{F})^{p+1} (a^2 + (-1)^{p+1} a^{-2}) \end{bmatrix} \text{ とおくと}$$

$$\tilde{A}(s) = (-1)^{\tilde{\mathfrak{g}}} (\sqrt{F})^{1-n} (-2\sqrt{F} \sin 2\pi s)^{\tilde{\mathfrak{g}}}$$

$$X \begin{bmatrix} \star & & & \\ & (-1)^{p+1} \star & & \\ & & \ddots & \\ & & & (-1)^{p+1+2\tilde{\mathfrak{g}}} \star \end{bmatrix} \quad (4\tilde{\mathfrak{g}}+2) \times (4\tilde{\mathfrak{g}}+2) \text{ 行列}$$

2)  $\mathfrak{g} = 4\tilde{\mathfrak{g}} + 2$  とおくと

$$\star = \begin{bmatrix} \sqrt{F} (-1)^{n+1} (a^4 - a^{-4}) & , & 0 & , & 0 \\ (a^{-2} + (-1)^{p+1} a^2) (-1)^{n+1} (\sqrt{F})^{p+1} + (-\sqrt{F})^{p+1} & , & -(\sqrt{F})^{p+1} (a^2 + (-1)^{p+1} a^{-2}) (a^2 + a^{-2}) & , & (\sqrt{F})^{p+1} (-1)^n (a^2 + (-1)^{p+1} a^{-2}) \end{bmatrix}$$

とおくと

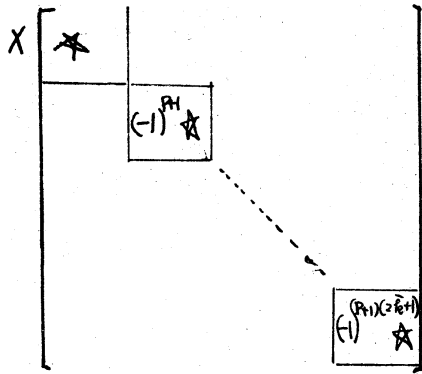
$$\tilde{A}(s) = (-1)^{\tilde{\mathfrak{g}}} (-2\sqrt{F} \sin 2\pi s)^{\tilde{\mathfrak{g}}}$$

$$X \begin{bmatrix} \star & & & \\ & (-1)^p \star & & \\ & & \ddots & \\ & & & (-1)^{p+2\tilde{\mathfrak{g}}} \star \\ & & & & \star \end{bmatrix} \quad \begin{aligned} \star' &= (-1)^{p+n+1} \sqrt{F} (a^4 - a^{-4}) \\ &= \text{行列 } (4\tilde{\mathfrak{g}}+3) \times (4\tilde{\mathfrak{g}}+3) \text{ 行列} \end{aligned}$$

3)  $\mathfrak{g} = 4\tilde{\mathfrak{g}} + 3$  のとき.

$$\star = \begin{bmatrix} (a^{-2} + (-1)^{n+1} a^2), & -(1 + (-1)^{n+1}) \\ -(\sqrt{-1})^{p+1} (1 + (-1)^{n+p}), & (\sqrt{-1})^{p+1} (a + (-1)^{n+p} a^{-2}) \end{bmatrix} \in \mathfrak{a} \cap \mathfrak{z}.$$

$$\tilde{A}(s) = (-1)^{\tilde{\mathfrak{g}}+1} (-\sqrt{-1})^n (-2\sqrt{-1} \sin \pi s)^{2\tilde{\mathfrak{g}}+1}.$$

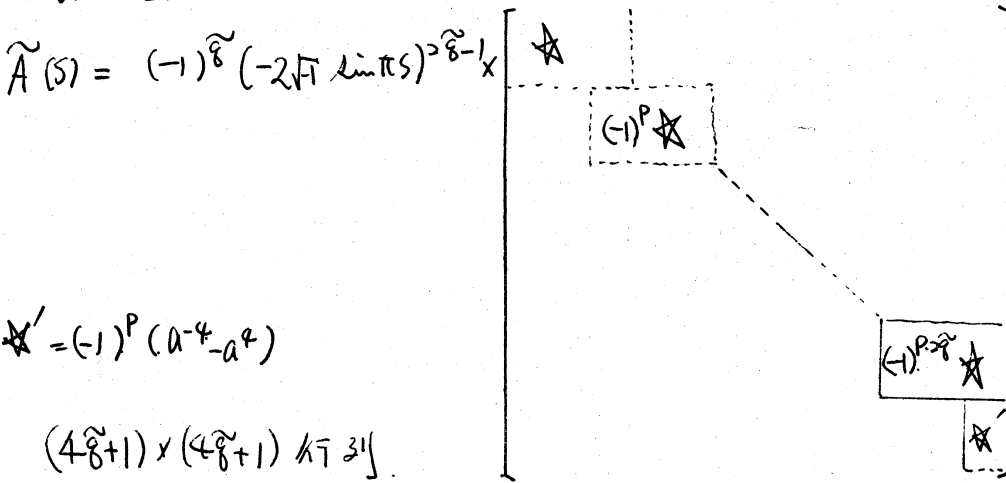


$(4\tilde{\mathfrak{g}}+4) \times (4\tilde{\mathfrak{g}}+4)$  行列

4)  $\mathfrak{g} = 4\tilde{\mathfrak{g}}$  のとき.

$$\star = \begin{bmatrix} (a^{-4} - a^4) & 0 & 0 \\ (\sqrt{-1})^p (1 + (-1)^{n+p}) (a^{-2} + (-1)^{n+p} a^2) & (\sqrt{-1})^p (-1)^n (-1)^{p+1} a^2 + a^{-2} (a^2 + a^{-2}) & (\sqrt{-1})^p (-1) a^2 + (-1)^p a^{-2} (-1)^{n+1} \end{bmatrix}$$

$\in \mathfrak{a} \cap \mathfrak{z}.$



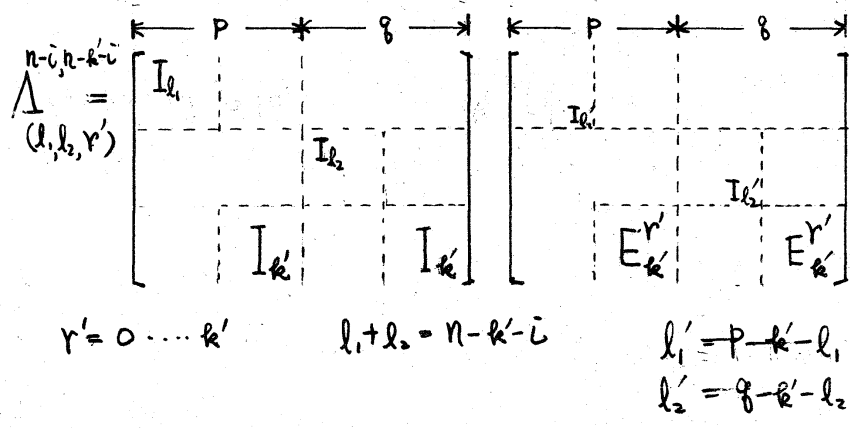
$$\star' = (-1)^p (a^{-4} - a^4)$$

$(4\tilde{\mathfrak{g}}+1) \times (4\tilde{\mathfrak{g}}+1)$  行列

さてついで、 $P < n$ ,  $q < n$  の場合を考察しよう。

Complex における 必要なる Lagrangian mf のみを書き入れた holonomy diagram は、 $P \parallel$  にあるものと 同じであつて、 $q$  のかわりに  $k' = (n - n)$  とおけば、(図にあらわれる部分) 同じである。

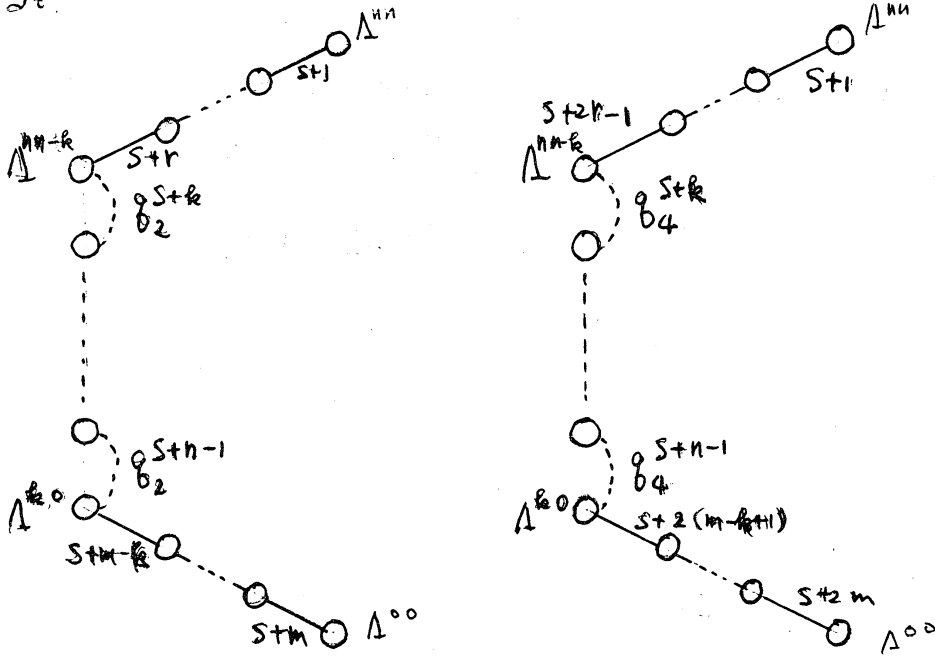
若 orbit (Lagrangian) の Real  $\cap$  制限したときの分解を書いておこう。 $\Delta^{n, n-k} \quad \Delta^{k, 0} \quad (0 \leq k \leq k')$  については、同じである。したがつて書かぬ。



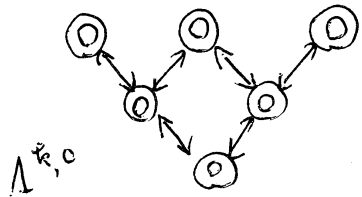
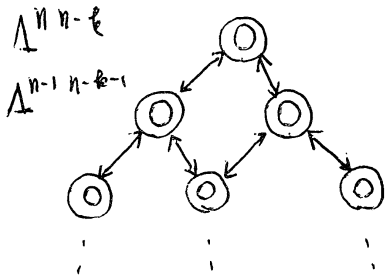
さて、交わり方の問題である。

$P \parallel$  の図式で、上と下の余次元1で、交わっている。その交り方をこめて、 $P > n$  の場合と同じになる。問題は、たこの ---- でつなぐところであるが、これは、i) の場合には、余次元1での交わりで下までつなぐが、こゆく。この場合は特別であるので、我々は先に ii) iii) の場合を考慮することにしよう。

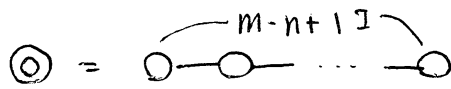
ii) iii) の場合 は  $p \leq n$   $q < n$  の場合までこめて計算できる。



$\Lambda^{n-k}$  と  $\Lambda^{k,0}$  の間の交わり方は少し複雑である。



real の図



$\updownarrow$  は 余次元 2 以上の交わりで、その間の 2 つは、2 次型式のみである。極大過剰決定系に、変換される。各々横にならんと  $\odot$  が同じ。(complex) orbit に  $\lambda, \gamma$  いるが、real で異なると、Maslov index の影響も、異なる、 $\gamma < \lambda$ 。

これを使, ? 計算してもよいのであるが, じつは, も, とうまくやれる。  $\Delta^{n, n-k}$ , と  $\Delta^{k, 0}$  の間を同所化して, あらわされる。 極大過剰決定系を調べ, 隣接する間の, 同件数の関係を出してしまふことである。(P.5. の conjecture の特別な場合への, 適用である。 この場合 conjecture は, 正しい。)

$\Delta^{n, n-k}$ ,  $\Delta^{k, 0}$  は ii), iii) の場合  $(k+1)$  個の連結成分に分かれる。  $\Delta_{(r')}^{n, n-k} = \Delta_{(p-k, q-k, r')}$   $\Delta_{(r')}^{k, 0} = \Delta_{(p-k, q-k, r')}$  とおく。  $r' = k, k-1, \dots, 0$  である。

$\Delta_{(r')}^{n, k-k}$  と  $\Delta_{(r')}^{k, 0}$  の間の極大過剰決定系は 群の作用を調べることによ, 2わかる)。

$$\text{ii) } \underset{\square}{GL(n-k, \mathbb{C})} \times \underset{\square}{SU(p-k, q-k)}$$

$$\text{iii) } \underset{\square}{GL(n-k, \mathbb{H})} \times \underset{\square}{SU(p-k, q-k, \mathbb{H})}$$

の相対不変式である。

(より正確な表現をすれば,  $\Delta_{(r')}^{(n, n-k)}$   $\Delta_{(r')}^{(k, 0)}$  は, 交わり, その交わりの generic pt. での極大過剰決定系は,  $\underset{\square}{GL(n-k, \mathbb{C})} \times \underset{\square}{SU(p-k, q-k, \mathbb{C})}$  (あるいは  $\underset{\square}{GL(n-k, \mathbb{H})} \times \underset{\square}{SU(p-k, q-k, \mathbb{H})}$ ) の相対不変式  $h(\alpha)$  の complex power  $h(\alpha)^\lambda$   $\delta(\alpha')$  の  $\mathbb{H}^2$  極大過剰決定系に同型 ということである。)

その間の同僚数の変化は.

$$ii) \prod_{i=1}^{n-k} \left( -\frac{\sin(s+(k+i)-1)}{\pi} \right) \Gamma(s+k+i)^2 \\ \left( \exp -\frac{\pi\sqrt{t}}{2} (2r'-k) \right)^{p-q}$$

$$iii) \prod_{i=0}^{n-k-1} -\frac{\sin(s+2(k+i))}{\pi} \Gamma(s+2(k+i)+1) \Gamma(s+2(k+i)+2) \\ \left( \exp \pi \sqrt{t} k \right)^{n-k}$$

であることは、公式にあてはめてみればわかる。

あとは同じ方法 ( $p > n$ ) で計算すればよろし。結果だけ書く。

ii)  $p \leq n$   $q \leq n$  の場合.

$$\begin{bmatrix} |f|_0^s(x) \\ \vdots \\ |f|_k^s(x) \end{bmatrix} = \int (2\pi)^{-\frac{mn}{2}} |c_0| \sqrt{|t|} (\sin \pi s) \frac{n(s)}{\pi^n} A(s) \begin{bmatrix} |f|_0^{*-s-m}(y) \\ \vdots \\ |f|_k^{*-s-m}(y) \end{bmatrix}$$

$$\times \exp \sqrt{t} \langle x, y \rangle dy$$

と  $k < 0$  のとき.

$k = m - n$  が odd. ならば

$$A(s) = (\sqrt{\Gamma})^{(m+1)(p-k)} (-1)^{k+n+1} (\sqrt{\Gamma})^{k+1} \begin{bmatrix} 1 & & & \\ & (-1)^{m+1} & & \\ & & \ddots & \\ & & & (-1)^{m+1} \end{bmatrix}$$

$k = m - n$  が even. ならば

$$A(s) = (\sqrt{\Gamma})^{(m+1)(p-k)} (\sqrt{\Gamma})^k \begin{bmatrix} 1 & & & \\ & (-1)^n & & \\ & & \ddots & \\ & & & 1 \end{bmatrix}$$

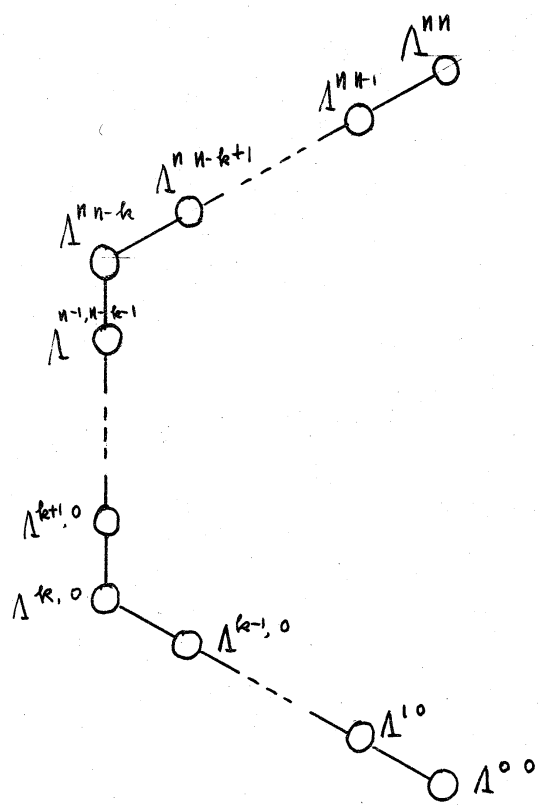
いま  $\Gamma$  は  $(k+1) \times (k+1)$  行列.  $|\Gamma|$  等の意味は  $P > n$  のときと同様である.  $C_0, C_1$  は最初に書いたとおり.

iii)  $p \leq n, q \leq n$  のとき.

$$|\mathcal{F}|_i^s(x) = \int 4^{ns} (\pi)^{(k-2m-1)n} (-\sin \pi s)^n \gamma(s) |\mathcal{F}|_i^{-s-2m}(y) \exp \sqrt{\Gamma} \langle x, y \rangle dy$$



最後に、i) の  $p \leq n, q < n$  の場合である。  $p = n$  の場合は少し、orbit に変化が起るかも知れぬを無視して結果を書く。  $p < n, q < n$  として説明を可とする。



Complex の重要な holonomy diagram の Lagrangian,  $\Lambda$  は書くと左のようになる。

$$\Lambda^{n, n-i} \quad \Lambda^{i, 0} \quad 0 \leq i < k$$

の real orbit 分解 (connected component 分解) は  $p > n$  の場合と全く同じである。

ただし  $\Lambda^{n, n-k}$  は様子が異なる。

可なり右のようになる。

$$l_1 = p - k, \quad l_2 = q - k$$

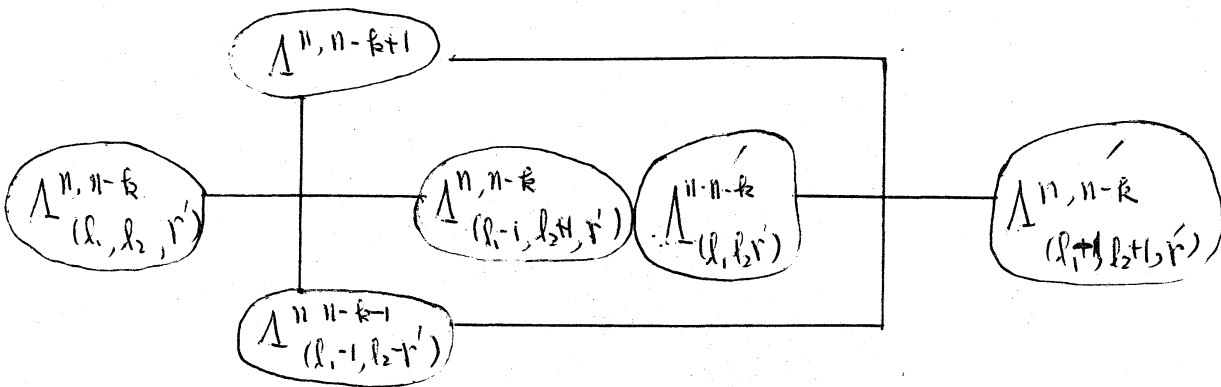
$$I'_{l_2} = \begin{bmatrix} 1 & & & \\ & 1 & & \\ & & \ddots & \\ & & & 1 & \\ & & & & -1 \end{bmatrix} \quad r' = 0 \dots k$$

$$\Lambda_{(r')}^{n, n-k} = \left[ \begin{array}{c|c} I_{l_1} & \\ \hline & I_{l_2} \quad I_k \end{array} \right] \left[ \begin{array}{c|c} & \\ \hline E_{k, r'} & E_{k, r'} \end{array} \right]$$

$$\Lambda_{(r')}^{n, n-k} = \left[ \begin{array}{c|c} I_{l_1} & \\ \hline & I'_{l_2} \quad I_k \end{array} \right] \left[ \begin{array}{c|c} & \\ \hline E_{k, r'} & E_{k, r'} \end{array} \right]$$

← P      ← q \*





$\Lambda^{k,0}$  と  $\Lambda^{k+1,0}$  の関係もこれとみればわかる。すると  
 $\Lambda^{n, n-k} \in \Lambda^{k,0}$ ,  $\Lambda^{n, n-k+1} \in \Lambda^{k+1,0}$  にとりかえれば同じ  
 である。

$$\begin{array}{ccc} \Lambda_{(r')}^{n, n-k} & \sim & \Lambda_{(r')}^{n, n-k} \\ \vdots & & \vdots \\ \Lambda_{(r')}^{k,0} & \sim & \Lambda_{(r')}^{k,0} \end{array}$$

左のようになる。ここで直接  
 係に同僚数のつるがり？  
 求める。

[2] に見るから、定数項  
 の修正と Maslov index の  
 修正を考慮しなければならない。

$$\frac{\Gamma(\lambda+1) \cdots \Gamma(\lambda+(2n-m))}{(\sqrt{2\pi})^{2n-m}} \left\{ \begin{array}{l} \left[ (2 \sin \pi \lambda)^{\frac{\tilde{r}}{2}} \right. \\ \left. (2 \sin \pi \lambda)^{\frac{\hat{r}}{2}} \right] \quad \tilde{r} \text{ even} \\ (-2 \sin \pi \lambda)^{\frac{r-1}{2}} \begin{bmatrix} \exp \frac{-\pi i}{2} (Q+1) & \exp \frac{\pi i}{2} (Q+1) \\ \exp \frac{\pi i}{2} (Q+1) & \exp \frac{-\pi i}{2} (Q+1) \end{bmatrix} \\ \tilde{r} \text{ odd} \end{array} \right.$$

ここで  $\lambda = 2s + (m-n)$   $\tilde{r} = 2n - m$ . とおいて Maslov index に よる 修正は.

$$\left[ \begin{array}{l} \exp\left(\frac{\pi\sqrt{-1}}{4}\right) \cdot (q-p) \cdot (n-m+2r') \\ \exp\left(\frac{\pi\sqrt{-1}}{4}\right) \cdot (q-p) \cdot (n-m+2r') \end{array} \right]$$

$r' = 0, 1, \dots, r-1, r$ . とする。

あとは全く同じようにして、工夫して計算すればよい。結果は次の書くとおくと次のようになる。

i)  $p < n$ .  $q < n$ . の場合.

$$\begin{bmatrix} |f|_0^s(x) \\ \vdots \\ |f|_k^s(x) \end{bmatrix} = \int (2\pi)^{-\frac{m+n}{2}} |c_0|^s |c_1|^{\frac{1}{2}} \frac{\gamma(s)}{(2\pi)^k} c(\lambda) \eta(s) \begin{bmatrix} |f|_0^{-s-\frac{m}{2}} \\ \vdots \\ |f|_k^{-s-\frac{m}{2}} \end{bmatrix} \exp \pi \langle x, y \rangle dy.$$

$$=: c. \quad \gamma(s) = \prod_{i=1}^k \Gamma\left(s + \frac{i}{2} + \frac{1}{2}\right) \Gamma\left(s + \frac{m}{2} - \frac{i}{2}\right) \quad k = m - n.$$

$$\lambda = 2s + (m-n) \quad \tilde{r} = 2n - m. \quad \text{とおくと}$$

$$c(\lambda) = \frac{\Gamma(\lambda+1) \cdots \Gamma(\lambda + (2n-m))}{(\sqrt{2\pi})^{2n-m}} \times \begin{cases} (-2 \sin \pi \lambda)^{\frac{\tilde{r}-1}{2}} (2 \cos \frac{\pi}{2}(\lambda+1))^{\tilde{r}_{\text{odd}}} \\ (2 \sin \pi \lambda)^{\frac{\tilde{r}}{2}} \tilde{r}_{\text{even}} \end{cases}$$

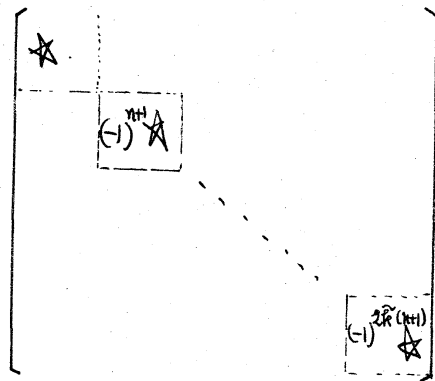
そして  $A(s)$  は次に書くとおくとある。  $A = \exp\left(\frac{\pi\sqrt{-1}}{2} s\right)$  とおくとおくとある。

1)  $k = 4\tilde{k} + 1$  のとき

$$\star = \begin{bmatrix} (a^{-2} + (-1)^{n+1}a^2), & (-1)^n - 1 \\ 2(\sqrt{-1})^{n+1}, & -(\sqrt{-1})^{n+1}(a^2 + (-1)^{n+1}a^{-2}) \end{bmatrix} \quad \text{と置く}$$

$$A(s) = (\sqrt{-1})^{1-p} (-1)^{\tilde{k}} (a^{-4} - a^4)^{2\tilde{k}}$$

$(k+1) \times (k+1)$  行列

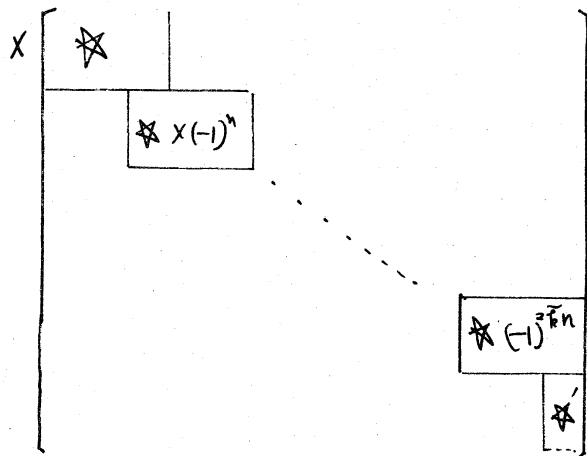


2)  $k = 4\tilde{k} + 2$  のとき

$$\star = \begin{bmatrix} (-1)^n (a^4 - a^{-4}) & 0 & 0 \\ (a^2 + (-1)^{n+1}a^{-2})(-\sqrt{-1})^n + (\sqrt{-1})^{p_0}, & -(\sqrt{-1})^{p_0}(a^2 + a^{-2})(a^2 + (-1)^{n+1}a^{-2}), & (a^2 + (-1)^{n+1}a^{-2})(-\sqrt{-1})^n + (\sqrt{-1})^{p_0} \end{bmatrix}$$

と置く

$$A(s) = (-1)^{\tilde{k} + n - p + 1} (\sqrt{-1}) (a^4 - a^{-4})^{2\tilde{k}}$$



$(k+1) \times (k+1)$  行列

$$\star' = (a^4 - a^{-4})$$

3)  $k = 4\tilde{k} + 3$  のとき.

$$\star = \begin{bmatrix} (a^{-2} + (-1)^{p+1} a^2) & - (1 + (-1)^{p+1}) \\ (-\sqrt{t})^{n+1} ((-1)^p + (-1)^n) & (\sqrt{t})^{n+1} (a^2 + (-1)^{p+n} a^{-2}) \end{bmatrix} \quad \text{とある。}$$

$$\tilde{A}(s) = (-1)^{\tilde{k}+1} (\sqrt{t})^p (a^{-4} - a^4)^{2\tilde{k}+1} \begin{bmatrix} \star & & & \\ & (-1)^m \star & & \\ & & \ddots & \\ & & & (-1)^{(m+1)(\tilde{k}+1)} \star \end{bmatrix}$$

4)  $k = 4\tilde{k}$  のとき.

$$\star = \begin{bmatrix} a^4 - a^{-4} & 0 & 0 \\ (\sqrt{t})^n (a^2 + (-1)^{m+1} a^{-2}) ((-1)^n + (-1)^p) & (-1)^{p+1} (\sqrt{t})^n (a^2 + (-1)^{m+1} a^{-2}) (a^2 + a^{-2}) & (a^2 + (-1)^{m+1} a^{-2}) (\sqrt{t})^n ((-1)^p + 1) \end{bmatrix}$$

とある。

$$A(s) = (-1)^{\tilde{k}+1} (a^{-4} - a^4)^{2\tilde{k}-1} \begin{bmatrix} \star & & & \\ & \star (-1)^m & & \\ & & \ddots & \\ & & & \star (-1)^{(2\tilde{k}-1)m} \\ & & & & \star \end{bmatrix}$$

$$\star' = (a^4 - a^{-4})$$

すなわち  $(k+1) \times (k+1)$  行列

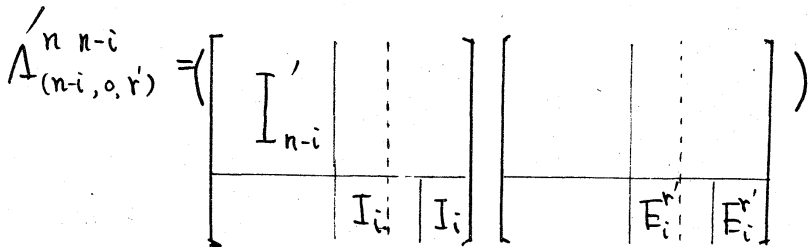
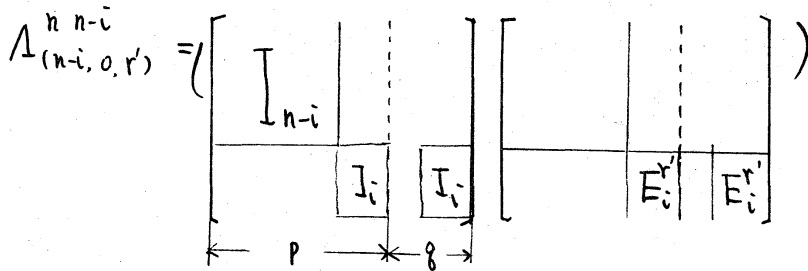
今度は  $P = n$   $g < n$  の場合である。

i)  $P = n$   $g < n$  の場合。

Complex holonomy diagram は P 32 にあるのと同じである。しかし real の Connected Components (orbit) 分解は異なる。可成ら。

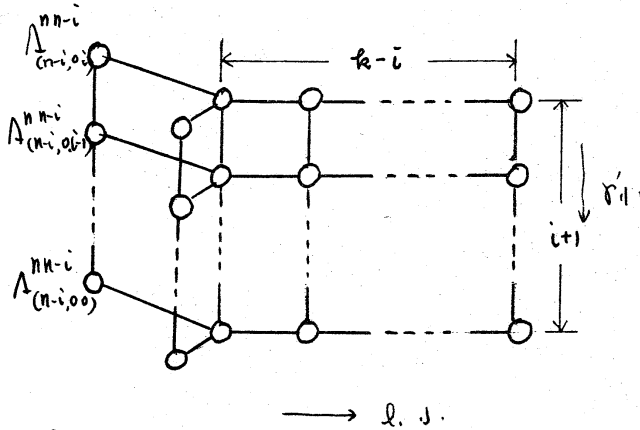
$$\Lambda_{\mathbb{R}}^{n, n-i} = \bigsqcup_{\substack{0 \leq r' \leq i \\ 0 < l_2 \leq n-n-i}} \Lambda_{(l_1, l_2, r')}^{n, n-i} \bigsqcup_{0 \leq r' \leq i} \Lambda_{(n-i, 0, r')}^{n, n-i} \bigsqcup_{0 \leq r' \leq i} \Lambda'_{(n-i, 0, r')}^{n, n-i}$$

それ



それ  $\tau = \tau'$   $I'_{n-i} = \begin{bmatrix} 1 & & \\ & \ddots & \\ & & 1 \end{bmatrix}$  の  $(n-i) \times (n-i)$  行列である。

$\Lambda_{(l_1, l_2, r')}^{n, n-i}$  の  $l_2 \geq 0$  とする。Lagrangian  $(\tau) \cup (\tau')$  は  $\tau$  に  $P //$  に書いた  $a$  と同じものがある。(P 39  $\wedge$   $\tau \tau' <$ .)

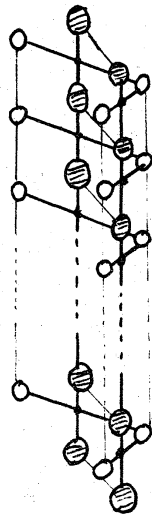
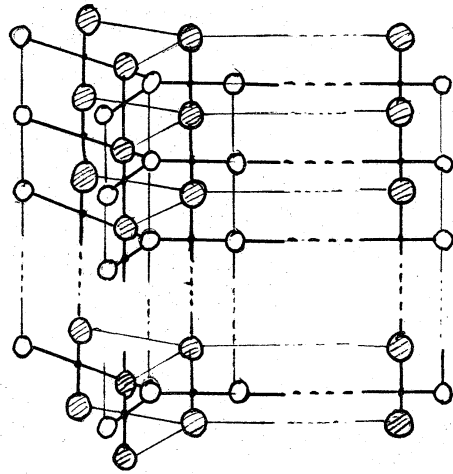


$\Lambda^{n-n-i}$  の real にあける。

orbit 分解

(  $\Lambda^{i,0}$  の real にあける orbit 分解もあらわしてある )

$\Lambda^{n-n-i}$  と  $\Lambda^{n-n-i+1}$  と  
 $\odot$  と  $\circ$  で  
 示して交わり方を図示  
 したものである。  
 (  $\Lambda^{i,0}$  と  $\odot$ ,  $\Lambda^{i+1,0}$  と  $\circ$  と  
 してのつながりも表している )



$\Lambda^{n-n-k}$  と  $\Lambda^{n-n-k+1}$  の間の  
 つながりも  $\odot$  と  $\circ$  で示している。  
 (  $\Lambda^{k,0}$  と  $\odot$ ,  $\Lambda^{k-1,0}$  と  $\circ$  と  
 のつながりもあらわしている )  
 いずれの図の場合も、右に書かれた  
 ものが、 $l$  の値が小さく、下に書かれ  
 たものが、 $r'$  の値が小さい。ゆえに、

右に書かれたものは、左上が / のつながりもあらわす。



また

$$\Lambda_{\mathbb{R}}^{i,0} = \bigsqcup_{\substack{0 \leq r' \leq i \\ 0 < l_2 \leq m-n-i}} \Lambda_{(l_1, l_2, r')}^{i,0} \bigsqcup_{0 \leq r' \leq i} \bigsqcup \Lambda_{(n-i, 0, r')}^{i,0} \bigsqcup_{0 \leq r' \leq i} \Lambda_{(n-i, 0, r')}^{i,0}$$

また

$$\Lambda_{(n-i, 0, r')}^{i,0} = \left( \begin{array}{c|c|c} & & \\ \hline & E_i^{r'} & E_i^{r'} \\ \hline & & \end{array} \begin{array}{c|c|c} I_{n-i} & & \\ \hline & I_i & I_i \\ \hline & & \end{array} \right)$$

$$\Lambda_{(n-i, 0, r')}^{i,0} = \left( \begin{array}{c|c|c} & & \\ \hline & E_i^{r'} & E_i^{r'} \\ \hline & & \end{array} \begin{array}{c|c|c} I'_{n-i} & & \\ \hline & I_i & I_i \\ \hline & & \end{array} \right)$$

いすれも  $0 \leq i \leq m-n$ . つるがり方は P39 のようになる。

さて、問題は、例によつて  $\Lambda^{n-k,0}$  と  $\Lambda^{k,0}$  の間のつるがりであるが、これは、 $GL(n-k, \mathbb{C}) \times GL(k, \mathbb{C})$  (real form は  $\mathbb{C} \in \mathbb{R}$  に変えたもの) の相対不変式のみを、極大過剰決定系と同型であり、これは  $p < n$  の場合と変えらる。したがって、あとは同様の tricks を使つて計算することができる。このときには、P36 ~ P37. にあつて書いた行列を  $P = n$  としてあつては、かつ  $n$  は  $N$  左士の  $\star$  の部分

と書きかえることができる。具体的には次のようになる。

i).  $P=n$   $q < n$  の場合.

$$\begin{bmatrix} |f|_0^s(x) \\ |f|_{0'}^s(x) \\ \vdots \\ |f|_q^s(x) \end{bmatrix} = \int (2\pi)^{-\frac{mn}{2}} |c_0|^s |c_1|^{\frac{1}{2}} C(\lambda)^t A(s) \begin{bmatrix} |f^*|_0^{-s-\frac{m}{2}}(y) \\ |f^*|_{0'}^{-s-\frac{m}{2}}(y) \\ \vdots \\ |f^*|_q^{-s-\frac{m}{2}}(y) \end{bmatrix} \exp \pi \langle x, y \rangle dy$$

$$\text{ここで } |f|_0^s(x) = \begin{cases} |f|^s(x) & x \in \Lambda_{(n,0,0)}^{n,n} \\ 0 & x \notin \Lambda_{(n,0,0)}^{n,n} \end{cases}$$

$$|f|_{0'}^s(x) = \begin{cases} |f|^s(x) & x \in \Lambda_{(n,0,0)'}^{n,n} \\ 0 & x \notin \Lambda_{(n,0,0)'}^{n,n} \end{cases}$$

$$|f^*|_0^{-s-\frac{m}{2}}(y) = \begin{cases} |f^*|^{-s-\frac{m}{2}}(y) & y \in \Lambda_{(n,0,0)}^{0,0} \\ 0 & y \notin \Lambda_{(n,0,0)}^{0,0} \end{cases}$$

$$|f^*|_{0'}^{-s-\frac{m}{2}}(y) = \begin{cases} |f^*|^{-s-\frac{m}{2}}(y) & y \in \Lambda_{(n,0,0)'}^{0,0} \\ 0 & y \notin \Lambda_{(n,0,0)'}^{0,0} \end{cases}$$

と表わす。また i)  $P < n$   $q < n$  の場合と同様に表わすとある。すると  $\lambda = 2s + m - n$   $\tilde{r} = 2n - m$  となる。

$$C(\lambda) = \frac{\Gamma(\lambda+1) \cdots \Gamma(\lambda+(2n-m))}{(\sqrt{2\pi})^{2n-m}} \times \begin{cases} (-2 \sin \pi \lambda)^{\frac{\tilde{r}-1}{2}} (2 \cos(\frac{\pi}{2}(\lambda+1)))^{\tilde{r} \text{ odd}} \\ (2 \sin \pi \lambda)^{\frac{\tilde{r}}{2}} & \tilde{r} \text{ even} \end{cases}$$

とある。

$$A(s) = \tilde{A}(s) \frac{1}{(2\pi i)^k} \prod_{i=1}^k P(s + \frac{i}{2} + \frac{1}{2}) \prod_{i=0}^{k-1} P(s + \frac{m}{2} - \frac{i}{2})$$

とし以下、 $\tilde{A}(s)$  は  $\frac{1}{s}$  を並べた  $k \times k$  の行列である。  $k = m - n$  とする。

1)  $k = 4\tilde{k} + 1$

$$\tilde{A}(s) = \begin{bmatrix} \star\star & & & & \\ & (-1)^{m+1}\star & & & \\ & & \ddots & & \\ & & & & \star \end{bmatrix} \times (F\Gamma)^{k-n} (-1)^{\tilde{k}} (a^{-4} - a^4)^{2\tilde{k}}$$

( $k+2$ )  $\times$  ( $k+2$ ) 行列

$$\star = \begin{bmatrix} (a^{-2} + (-1)^{m+1}a^2) & (-1)^{m-1} \\ 2(F\Gamma)^{m+1} & -(F\Gamma)^{m+1}(a^2 + (-1)^{m+1}a^{-2}) \end{bmatrix}$$

また、 $\star\star$  は  $3 \times 3$  行列である。

①  $m = \text{even}$  のとき

$$\begin{bmatrix} a^2 & a^2 & (-1)^{m-1} \\ a^2 & a^2 & (-1)^{m-1} \\ (F\Gamma)^{m+1} & (F\Gamma)^{m+1} & -(F\Gamma)^{m+1}(a^2 + a^{-2}) \end{bmatrix}$$

②  $m = \text{odd}$  のとき

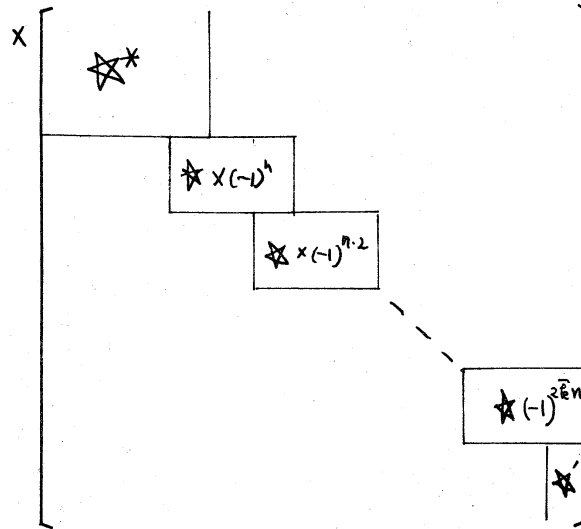
$$\begin{bmatrix} a^{-2} - a^2 & 0 & (-1)^{m-1} \\ 0 & a^{-2} - a^2 & (-1)^{m-1} \\ (F\Gamma)^{m+1} & (F\Gamma)^{m+1} & -(F\Gamma)^{m+1}(a^2 - a^{-2}) \end{bmatrix}$$

2)  $k = 4\tilde{k} + 2$

$$\star = \begin{bmatrix} (-1)^n(a^4 - a^{-4}) & & & 0 \\ (a^2 + (-1)^{m+1}a^{-2})(-F\Gamma)^n + (F\Gamma)^{2\tilde{k}} & & & \\ & -(F\Gamma)^{2\tilde{k}}(a^2 + a^{-2})(a^2 + (-1)^{m+1}a^{-2}) & & \\ & & (a^2 + (-1)^{m+1}a^{-2})(-F\Gamma)^n + (F\Gamma)^{2\tilde{k}} & \end{bmatrix}$$

とある。

$$\tilde{A}(s) = (-1)^{\tilde{k}+1} (F) (a^{-4} - a^4) z^{\tilde{k}}$$



$$\star' = (a^4 - a^{-4})$$

①  $m = \text{even}$ ,  $n \in \mathbb{Z}$  ( $n = \text{even}$ ).  $\star^*$  は  $3 \times 4$  行列で

$$\begin{bmatrix} a^4 - a^{-4} & 0 & 0 & 0 \\ 0 & (a^4 - a^{-4}) & 0 & 0 \\ (F)^n (a^2 + a^2) & (F)^n (a^2 - a^2) & (F)^n (a^2 + a^2) (a^2 + (-1)^{n+1} a^2) & (a^2 - a^{-2}) (- (F)^n - (F)^n) \end{bmatrix}$$

②  $m = \text{odd}$ ,  $n \in \mathbb{Z}$  ( $n = \text{odd}$ ).  $\star^*$  は  $3 \times 4$  行列で

$$\begin{bmatrix} (a^{-2} - (a^2 + a^2)) & -a^2 (a^2 + a^2) & 0 & 0 \\ -a^2 (a^2 + a^2) & a^{-2} (a^2 + a^2) & 0 & 0 \\ - (F)^n (a^2 + a^2) & - (F)^n (a^2 - a^2) & (F)^n (a^2 + a^2) (a^2 + a^2) & (a^2 + a^{-2}) (x \ 0) \end{bmatrix}$$

の ~~3~~ 行 3 列  $\in \mathbb{R}$  かつ。

$$3) \quad \tilde{k} = 4\tilde{k} + 3$$

$$\star = \begin{bmatrix} (a^{-2} + (-1)^{n+1} a^2) & - (1 + (-1)^{n+1}) \\ 2(F)^{n+1} (-1)^n & (F)^{n+1} (a^2 + a^{-2}) \end{bmatrix} \quad \text{とおく。}$$

$$\hat{A}(s) = (-1)^{\tilde{k}+1} (\sqrt{t})^n (a^{-4} - a^4)^{2\tilde{k}+1} x \begin{bmatrix} \star^* & & & \\ & (-1)^{m+1} \star & & \\ & & \dots & \\ & & & (-1)^{(m+1)(2\tilde{k}+1)} \star \end{bmatrix}$$

$\therefore \star^*$  は

①  $m = \text{even}$  ( $n = \text{odd}$ )  $n \in \mathbb{Z}$ .

②  $m = \text{odd}$  ( $n = \text{even}$ )  $n \in \mathbb{Z}$ .

$$\begin{bmatrix} a^{-2}, & a^2, & -2 \\ a^2, & a^{-2}, & -2 \\ (-\sqrt{t})^{n+1}, & (-\sqrt{t})^{n+1}, & (\sqrt{t})^{n+1}(a^2+a^{-2}) \end{bmatrix}$$

$$\begin{bmatrix} (a^{-2}-a^2) & 0 & 0 \\ 0 & (a^{-2}-a^2) & 0 \\ (\sqrt{t})^{-n+1} & (\sqrt{t})^{-n+1} & (\sqrt{t})^{n+1}(a^2+a^{-2}) \end{bmatrix}$$

4)  $k = 4\tilde{k}$

$$\hat{A}(s) = (-1)^{\tilde{k}+1} (a^{-4} - a^4)^{2\tilde{k}-1} \begin{bmatrix} \star^* & & & \\ & \star (-1)^n & & \\ & & \star (-1)^{n-2} & \\ & & & \dots \\ & & & & \star x (-1)^{(2\tilde{k}-1)n} \\ & & & & & \star \end{bmatrix}$$

$$\star = (a^4 - a^{-4})$$

$(k+2) \times (k+2) \times \sqrt{t} \geq 1$

$$\star = \begin{bmatrix} a^4 - a^{-4} & 0 & 0 \\ (\sqrt{t})^n (a^2 + (-1)^{n+1} a^{-2}) (-1)^n + 1, & (-1)^{n+1} (\sqrt{t})^n (a^2 + (-1)^{n+1} a^{-2}) (a^2 + a^{-2}), & (a^2 + (-1)^{n+1} a^{-2}) (\sqrt{t})^n (1)^p + 1 \end{bmatrix}$$

①  $m = \text{even}$  ( $n = \text{even}$ ) のとき  $\star^*$  は  $4 \times 3$  行列  $\tau^n$ .

$$\begin{bmatrix} -(a^4 - a^2), & 0, & 0, & 0 \\ 0 & -(a^4 - a^2), & 0, & 0 \\ (F)^n(a^2 - a^{-2}), & (F)^n(a^2 - a^{-2}), & (-1)^{n+1}(F)^n(a^2 - a^{-2})(a^2 + a^{-2}), & 2(a^2 - a^{-2})(F)^n \end{bmatrix}$$

②  $m = \text{odd}$  ( $n = \text{odd}$ ) のとき  $\star^*$  は

$$\begin{bmatrix} -a^2(a^2 + a^{-2}), & a^2(a^2 + a^{-2}), & 0, & 0 \\ a^2(a^2 + a^{-2}), & -a^2(a^2 + a^{-2}), & 0, & 0 \\ -(F)^n(a^2 + a^{-2}), & -(F)^n(a^2 + a^{-2}), & (F)^n(a^2 + a^{-2})^2, & 0 \end{bmatrix}$$

Imaginary Lagrangian が現れる場合の Fourier 変換  
(講究録 No. 248 所収)

page. line.	誤	正
P13. l. 8.	$T_S \Lambda_2 \times_S T_S \Lambda_0 / T_S$	$T_S \Lambda_2 \times_S T_S \Lambda_0$
l. 15.	$\tilde{W} = \{ \dots \}$	$\tilde{W} = \{ \dots \varphi'_2 \neq 0 \}$
P14. l. 9	$\varphi_2 = 4\varphi'_0 = 4(x_1^2 + \dots + x_l^2)$	$\varphi_0 = 4^{-1}\varphi'_0 = 4^{-1}(\xi_1^2 + \dots + \xi_l^2)$
l. 11	$\omega_{\Lambda_0} = 4^{2(a+\frac{d}{4})} \dots$	$\omega_{\Lambda_0} = 4^{-2(a+\frac{d}{4})} \dots$
P15. l. 1	$\tilde{W} = \{ \dots \}$	$\tilde{W} = \{ \dots \varphi'_0 \neq 0 \}$
l. 5	$\frac{\pi^* (\omega_{\Lambda_2})}{c(s')} \frac{ds'}{ds}$	$\frac{\pi^* (\omega_{\Lambda_2}) \wedge ds'}{c(s')} \frac{ds'}{ds}$
l. 11	$d\xi \wedge \eta \wedge ds' / c(s') ds'$	$d\xi \wedge \eta \wedge ds' / c(s') ds'$
P17. F.B. l. 2	$\left( - \frac{\sin \pi(\ell(s)+a)}{\ell(s)+a} \right)$	$\left( - \frac{\sin \pi(\ell(s)+a)}{\pi} \right)$
P47. P48. P49.	の $\tilde{W}$ の $\{ \dots \} = \{ \varphi(y) \neq 0, (\varphi(y) \neq 0) \}$ に書かば。	